

## Correction du DS 1 du 1<sup>er</sup> Octobre 2025

### Exercice 1

Q0 : Le transmetteur pignon crémaillère transforme le mouvement de rotation du moteur réducteur en mouvement de translation verticale de l'ensemble DBB + crémaillère

Q1:  $\left\{ \begin{matrix} \mathcal{L}_{mrp \rightarrow BDD} \\ \end{matrix} \right\}_{I_1} = \left\{ \begin{matrix} T_{pc} \vec{z} \\ \vec{o} \\ \end{matrix} \right\}_{I_1}$

Q2: Soit  $\gamma$  le rendement du transmetteur pignon/crémaillère

$$\gamma = 1 = \frac{P_{sortie}}{P_{entree}} = \frac{T_{pc} \times V_{cremaillere}}{C_{ms} \times \omega_{ms}}$$

Or  $V_{cremaillere} = R_p \omega_{mrp} \Rightarrow \lambda = \frac{T_{pc} \times R_p \times \omega_{mrp}}{C_{ms} \times \omega_{ms}}$

or  $\omega_{mrp} = k \omega_{ms} \Rightarrow \frac{\omega_{mrp}}{\omega_{ms}} = k$

$$\lambda = \frac{T_{pc} \times R_p \times k}{C_{ms}} \Rightarrow T_{pc} = \frac{C_{ms}}{R_p \times k}$$

Q3 Si on isole le système le DBB + crémaillère le B.A.M.E.

on a 3 torseurs statiques :

$$\left\{ \begin{matrix} \mathcal{Y}_{Resantur} \\ \end{matrix} \right\}_{G_1} = \left\{ \begin{matrix} -Mg \vec{z} \\ \vec{o} \\ \end{matrix} \right\}_{G_1} \quad \left\{ \begin{matrix} \mathcal{Y}_{Grisine} \\ \end{matrix} \right\}_{O_1} = \left\{ \begin{matrix} x_{o_1} \vec{x} + y_{o_1} \vec{y} \\ L_{o_1} \vec{x} + M_{o_1} \vec{y} + N_{o_1} \vec{z} \\ \end{matrix} \right\}_{O_1}$$

$$\left\{ \begin{matrix} \mathcal{Y} \\ \end{matrix} \right\}_{I_1} = \left\{ \begin{matrix} T_{pc} \vec{z} \\ \vec{o} \\ \end{matrix} \right\}_{I_1}$$

Q4: On applique le TRS en projection sur  $\vec{z}$

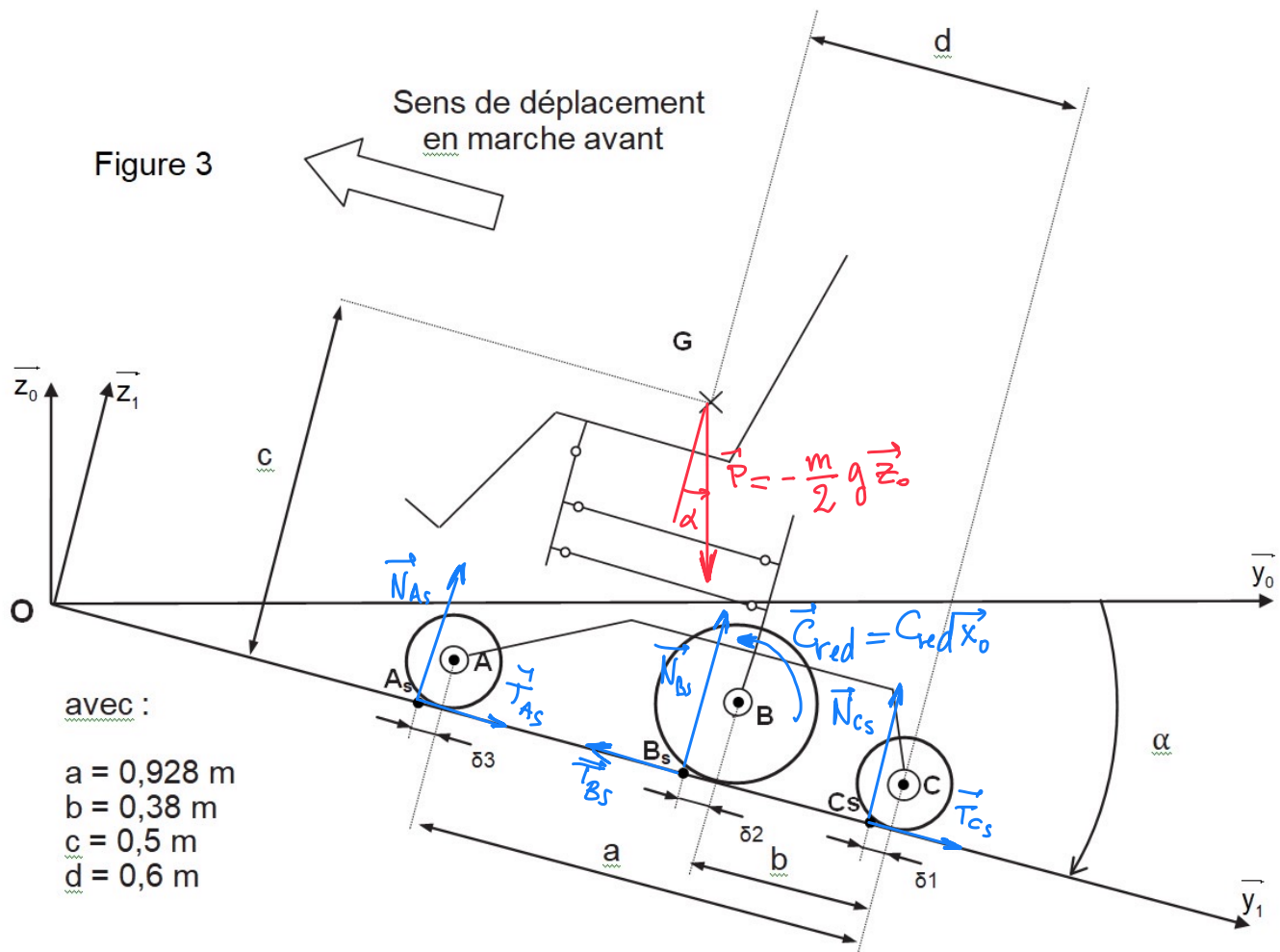
$$\vec{R} \cdot \vec{z} = 0 = -Mg + T_{pc} \Rightarrow T_{pc} = Mg$$

alors  $C_{ms} = R_p \times k \times Mg$

Exercice 2 :

Q5:

Figure 3



Q6: On isole le Fauteuil + PMR de la B.A.M.E. comme :

$$P, \vec{N}_{As}, \vec{T}_{As}, \vec{N}_{Bs}, \vec{T}_{Bs}, \vec{N}_{Cs}, \vec{T}_{Cs}$$

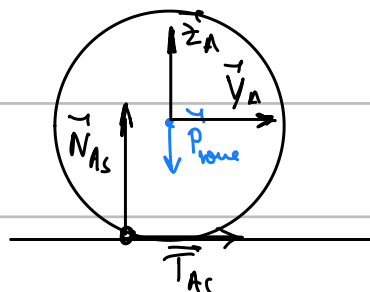
$$\vec{R} \cdot \vec{y}_1 = T_{As} - T_{Bs} + T_{Cs} + \frac{m}{2} g \sin \alpha = 0$$

$$\vec{R} \cdot \vec{z}_1 = N_{As} + N_{Bs} + N_{Cs} - \frac{m}{2} g \cos \alpha = 0$$

$$\vec{R} \cdot \vec{x}_1 = \left[ M_{Bs}, \vec{N}_{As} + M_{Bc}, \vec{T}_{As} + M_{Bs}, \vec{T}_{Bs} + M_{Bc}, \vec{N}_{Bs} + M_{Bs}, \vec{N}_{Cs} + M_{Bs}, \vec{T}_{Bs} + M_{Bc}, \vec{T}_{Cs} \right] = 0$$

$$\vec{M}_x = 0 = N_{As}((a-b) - \delta_2 + \delta_3) + N_{Cs}(b + \delta_2 - \delta_1) - \frac{m}{2}g \tan \alpha C + \frac{m}{2}g \cos \alpha \frac{(d-b)}{-\delta_2}$$

Q7: On isole la roue avant B.A.M.E:  $\vec{P}_{roue}, \vec{N}_{As}, \vec{T}_{As}, \vec{y}_A, \vec{z}_A$



On applique le T.M.S. au point A cela donne :

$$T_{As} \times \frac{D_3}{2} - N_{As} \delta_3 = 0$$

$$\frac{T_{As}}{2} D_3 = N_{As} \delta_3$$

en isolant la roue arrière on obtient également

$$\frac{T_{Cs}}{2} D_1 = N_{Cs} \delta_1$$

Q8: De même pour la roue motrice on obtient :

$$-N_{Bs} \delta_2 - T_{As} \times \frac{D_2}{2} + C_{red} = 0$$

alors  $C_{red} = N_{Bs} \delta_2 + T_{As} \frac{D_2}{2}$

Q9:  $\vec{T}_{Bs}$  est une force motrice, elle est donc dans le sens du déplacement ( $-\vec{y}_1$ ).

$$\text{d'où } C_{red} = 140 \times 0,004 + 380 \times \frac{0,336}{2}$$

$$= 4,56 + 58,8 = 63,36 \text{ N.m} > 24 \text{ N.m}$$



### Exercice 3 :

Q10: Les câbles ne sont pas représentés

Q11: L'ensemble {corps de véhic, trép}, et munis à deux glisseurs (actions transmises par les pivots en A et B, et un poids propre négligé). On en conclut que l'effort transmis par le véhicule est porté par  $\vec{u}$ .

Q12 si on isole BCE, le B.A.M.E. donne:  $\vec{B}_{\text{tige} \rightarrow \text{bras}}, \vec{E}_{\text{rov} \rightarrow \text{bras}}$

et les actions transmises par la liaison pivot en C,  $\vec{x}_c, \vec{y}_c$

$$\left. \begin{Bmatrix} \mathcal{X}_{\text{tige} \rightarrow \text{bras}} \\ \mathcal{Y}_{\text{tige} \rightarrow \text{bras}} \end{Bmatrix} \right|_B = \left. \begin{Bmatrix} B_{\text{tige} \rightarrow \text{bras}} \vec{u} \\ \vec{0} \end{Bmatrix} \right|_B \quad \left. \begin{Bmatrix} \mathcal{X}_{\text{rov} \rightarrow \text{bras}} \\ \mathcal{Y}_{\text{rov} \rightarrow \text{bras}} \end{Bmatrix} \right|_E = \left. \begin{Bmatrix} -Mg \vec{y}_o \\ \vec{0} \end{Bmatrix} \right|_E$$

$$\left. \begin{Bmatrix} \mathcal{X}_{\text{Bâti} \rightarrow \text{bras}} \\ \mathcal{Y}_{\text{Bâti} \rightarrow \text{bras}} \end{Bmatrix} \right|_C = \left. \begin{Bmatrix} x_c \vec{x}_o + y_c \vec{y}_o \\ \vec{0} \end{Bmatrix} \right|_C$$

Q13: On applique le TMS en C:

$$\vec{M}_{C, B_{\text{tige} \rightarrow \text{bras}}} + \vec{M}_{C, E_{\text{rov} \rightarrow \text{bras}}} + \vec{M}_{C, \text{liaison pivot}} // \vec{0} = \vec{0}$$

$$\vec{CB} \wedge B_{\text{tige} \rightarrow \text{bras}} \vec{u} + \vec{CE} \wedge E_{\text{rov} \rightarrow \text{bras}} = \vec{0}$$

$$r \vec{f} \wedge B_{\text{tige} \rightarrow \text{bras}} \vec{u} + d \vec{y}_1 \wedge -Mg \vec{y}_o = \vec{0}$$

$$r (-\sin(\theta+16^\circ) \vec{x}_o + \cos(\theta+16^\circ) \vec{y}_o) \wedge B_{\text{tige} \rightarrow \text{bras}} (\cos \psi \vec{x}_o + \sin \psi \vec{y}_o) \\ + d (-\sin \theta \vec{x}_o + \cos \theta \vec{y}_o) \wedge -Mg \vec{y}_o = \vec{0}$$

$$-r B_{\text{tige} \rightarrow \text{bras}} \sin(\theta+16^\circ) \sin \psi \vec{z}_o - r B_{\text{tige} \rightarrow \text{bras}} \cos(\theta+16^\circ) \cos \psi \vec{z}_o \\ + d \sin \theta M g \vec{z}_o = \vec{0}$$

$$\beta_{\text{tige} \rightarrow \text{bras}} = \frac{d \sin \theta Mg}{r[(\sin \psi) \sin(\theta + \delta) + \cos(\theta + \delta) \cos \psi]} = \frac{d \sin \theta Mg}{r \cos(\psi - \theta - \delta)}$$

Q14: Phase de poussée pour faire sortir la tige il faut alimenter le port A. Phase de retenue il faut alimenter le port B

Q15: En poussée  $S_p = \frac{\pi D^2}{4}$  En retenue  $S_R = \frac{\pi}{4}(D^2 - d^2)$

Q16: Pour  $-12^\circ < \theta < 0^\circ$  le véh est en poussée

Pour  $0^\circ < \theta < 53^\circ$  le véh est en retenue

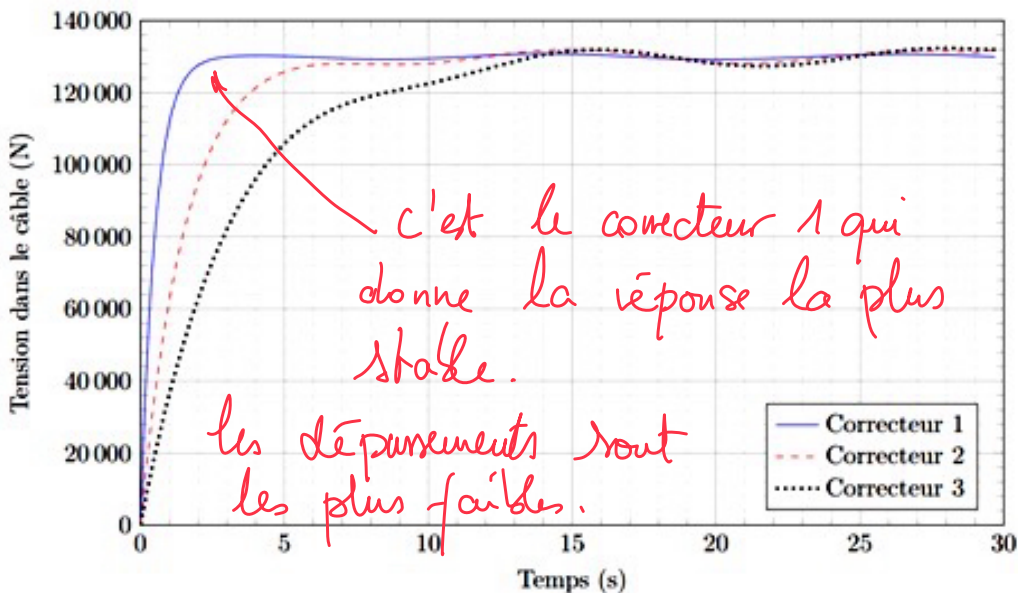
Q17: L'effort maximum est en retenue et égale à 430 000 N

$$P_{\text{retenue}} \times S_R = 430 000 \Rightarrow P_{\text{retenue}} = \frac{430 000}{S_R}$$

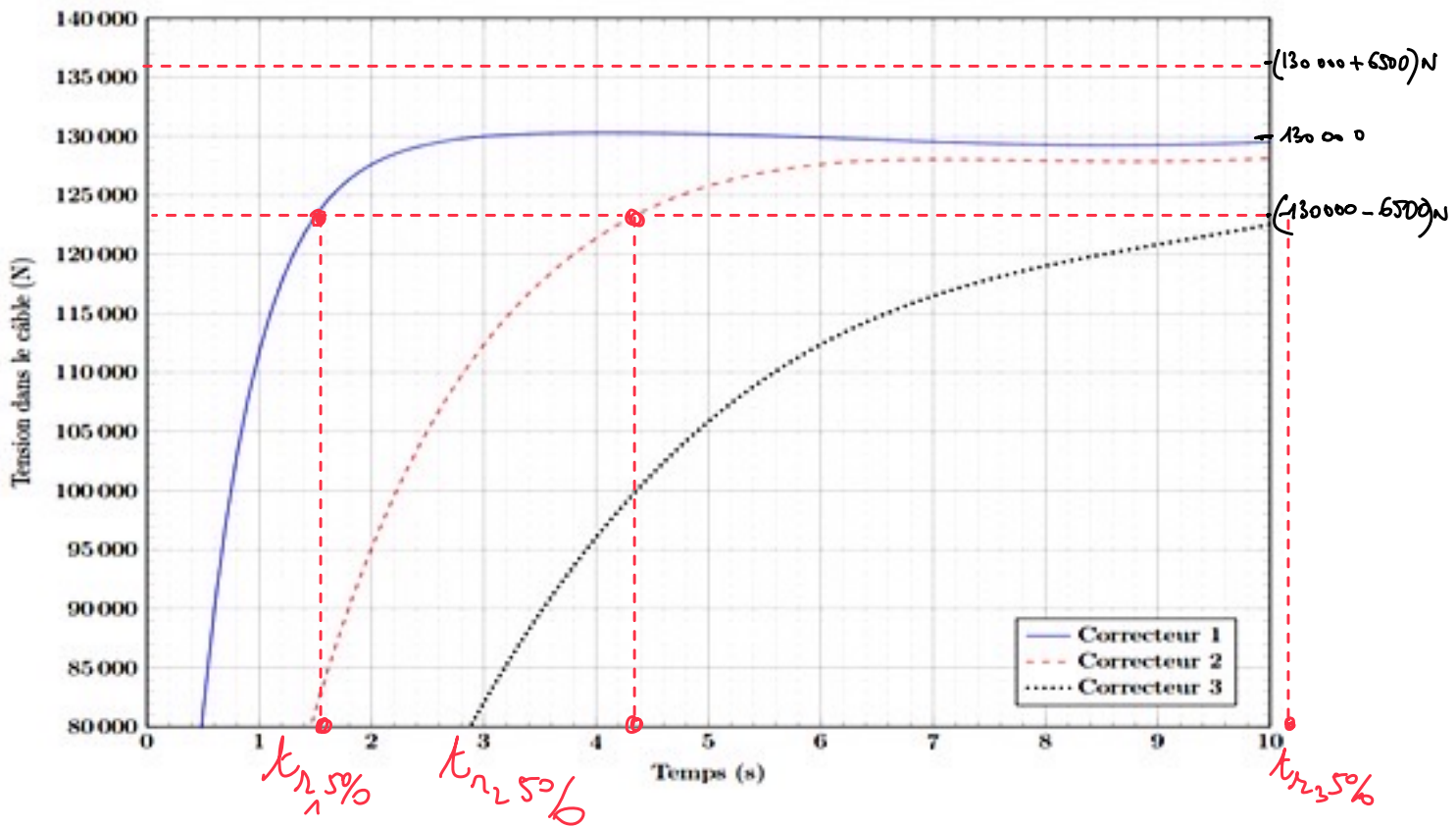
A.N.  $P_{\text{retenue}} = 182 \text{ MPa} < 20 \text{ MPa}$

Q18: La pression reti bien inférieure à la pression maximum que peut délivrer le compresseur. 😊

Q19:



Q20:



La bande des 5% est déterminée à partir de  $3s(t_\infty)$

qui pour les 3 correcteurs est égale à  $130\ 000\ N$

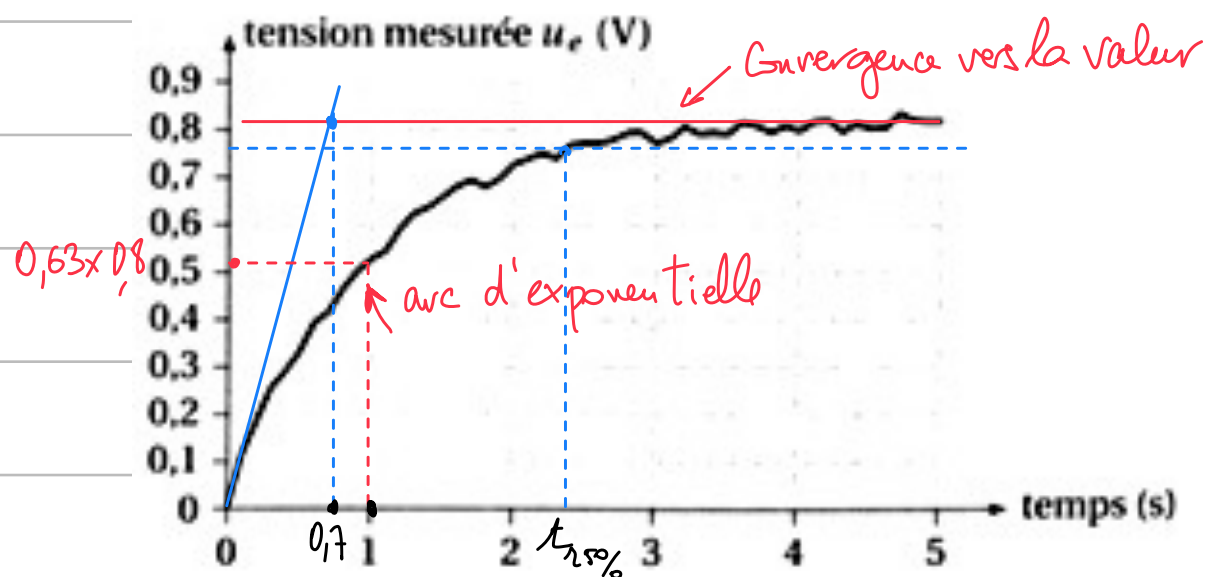
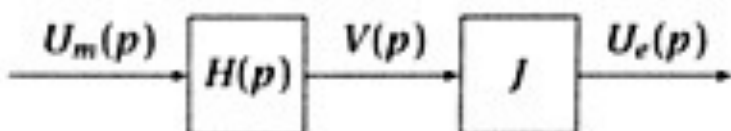
$$\text{d'où } 0,05 \times 130\ 000 = 6500\ N$$

$$t_{r1,5\%} = 1,5\ s \quad t_{r2,5\%} = 4,3\ s \quad t_{r3,5\%} = 10,2\ s$$

Uniquement le correcteur 1 permet de respecter le  $t_{r1,5\%}$  du CdC ( $< 3\ s$ )

Q21: Il s'agira d'un modèle expérimental. On établit le modèle à partir des résultats obtenus par les capteurs qui instrumentent le chariot.

Q22: La forme générale d'une fonction de transfert du 1er ordre, est un arc d'exponentielle, avec une convergence vers une valeur finale sans dépassement.



Q23:  $\Delta \lambda(+\infty) = K_c \Delta e$ , avec  $U_0 = 70V = \Delta e$

$$K_c = \frac{\Delta \lambda(+\infty)}{U_0}$$

A.N.  $K_c = \frac{0,8}{70} = 1,14 \times 10^{-2}$

Q24: Méthode 1: abscise de l'intersection de la tangente à l'origine et de l'asymptote à  $\Delta \lambda(+\infty)$ :  $\tau_1 = 0,71$

Méthode 2: Abscise du point d'ordonnée  $0,63 \Delta \lambda(+\infty) \tau_2 = 11$

Méthode 3: Détermination du  $t_{1,5\%} = 3\tau$      $3\tau_3 = 2,3\Delta$   
 $\tau_3 = 0,77\Delta$

On peut faire la moyenne des 3  $\tau$  ce qui donne

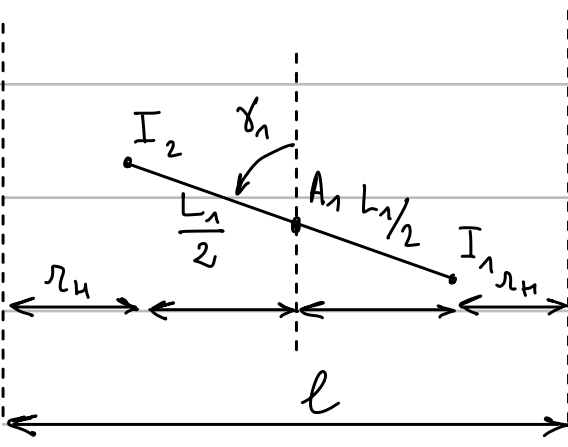
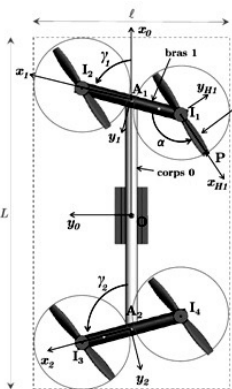
$$\bar{\tau} = \frac{1+0,7+0,77}{3} = 0,82\text{ s}$$

Q25: On aurait un temps de réponse  $t_{50\%} = 3 \times 0,82$

ce qui donne  $t_{50\%} = 2,46\text{ s}$

le système est beaucoup trop lent, il faut prévoir un correcteur pour gagner en rapidité.

Q26:



$$l = 2r_H + 2 \times \frac{L_1}{2} \sin \gamma_1$$

$$l = 2r_H + L_1 \sin \gamma_1$$

Q27: Pour  $\gamma_1 = 0$   $l_{\min} = 2r_H$  A.N.  $l_{\min} = 0,128\text{ m}$

Pour  $\gamma_1 = \frac{\pi}{2}$   $l_{\max} = 2r_H + L_1$   $l_{\max} = 0,128 + 0,140 = 0,268\text{ m}$

$$A = 1 - \frac{2r_H}{2r_H + L_1} = \frac{2r_H + L_1 - 2r_H}{2r_H + L_1}$$

$$A = \frac{L_1}{2r_H + L_1}$$

A.N.  $A = \frac{140}{2 \times 64 + 140} = 52,2\%$

$$Q28: l_{\text{proj}} = l_{\text{gauche}} - l_{\text{droit}}$$

$$\left. \begin{array}{l} l_{\text{gauche}} \text{ avant le repliement} = 0,125 \text{ m} \\ l_{\text{droit}} \quad " \quad " \quad = -0,140 \text{ m} \end{array} \right\} \Rightarrow \left. \begin{array}{l} l_{\text{proj.}}^{\text{MAX}} = 0,125 + 0,140 \\ = 0,265 \text{ m} \end{array} \right.$$

$$\left. \begin{array}{l} l_{\text{gauche replié}} = 0,07 \text{ m} \\ l_{\text{droit replié}} = -0,06 \text{ m} \end{array} \right\} \left. \begin{array}{l} l_{\text{proj.}}^{\text{MIN}} = 0,07 + 0,06 = 0,13 \text{ m} \\ l_{\text{proj.}} = 0,07 + 0,06 = 0,13 \text{ m} \end{array} \right.$$

Les valeurs trouvées lors de l'essai 4 sont très proches

$$\text{des valeur théorique } \left| \frac{0,128 - 0,130}{0,128} \right| = 1,6\%$$

$$\left| \frac{0,268 - 0,265}{0,268} \right| = 1,1\%$$

L'erreur provient du fait que le châssis se déplace légèrement de l'axe par rapport à l'axe  $x_G$

L'exigence 1 est vérifiée  $\boxed{l_{\text{proj.}}^{\text{MIN}} < 0,20 \text{ m}}$

$$\begin{aligned} Q29: \vec{V}_{P\in H_1/R_G} &= \vec{V}_{P\in H_1/R_1} + \vec{V}_{P\in R_1/R_0} + \vec{V}_{P\in R_0/R_G} \\ &= \vec{P}_I \vec{x}_1 \wedge \omega_1 \vec{z}_0 + \vec{P}_A \vec{y}_1 \dot{\vec{x}}_1 \vec{z}_0 + V_x \vec{x}_0 \\ &= -r_n \vec{x}_n \wedge \omega_n \vec{z}_0 + \left( -r_n \vec{x}_n + \frac{L}{2} \vec{x}_1 - \frac{h}{4} \vec{z}_0 \right) \wedge \vec{y}_1 \vec{z}_0 + V_x \vec{x}_0 \\ &= r_n \omega_1 \vec{y}_n + r_n \dot{\vec{y}}_1 \vec{y}_1 - \frac{L}{2} \dot{\vec{y}}_1 \vec{y}_1 + V_x \vec{x}_0 \end{aligned}$$

$$\boxed{\vec{V}_{P\in H_1/R_G} = r_n (\omega_1 + \dot{\gamma}_1) \vec{y}_n - \frac{L}{2} \dot{\vec{y}}_1 \vec{y}_1 + V_x \vec{x}_0}$$

Q30: La vitesse est maximum quand  $\vec{y}_n = \vec{x}_0 - \vec{y}_n = \vec{x}_0 \Rightarrow \vec{y}_n = -\vec{x}_0$

ce qui donne une norme égale à :

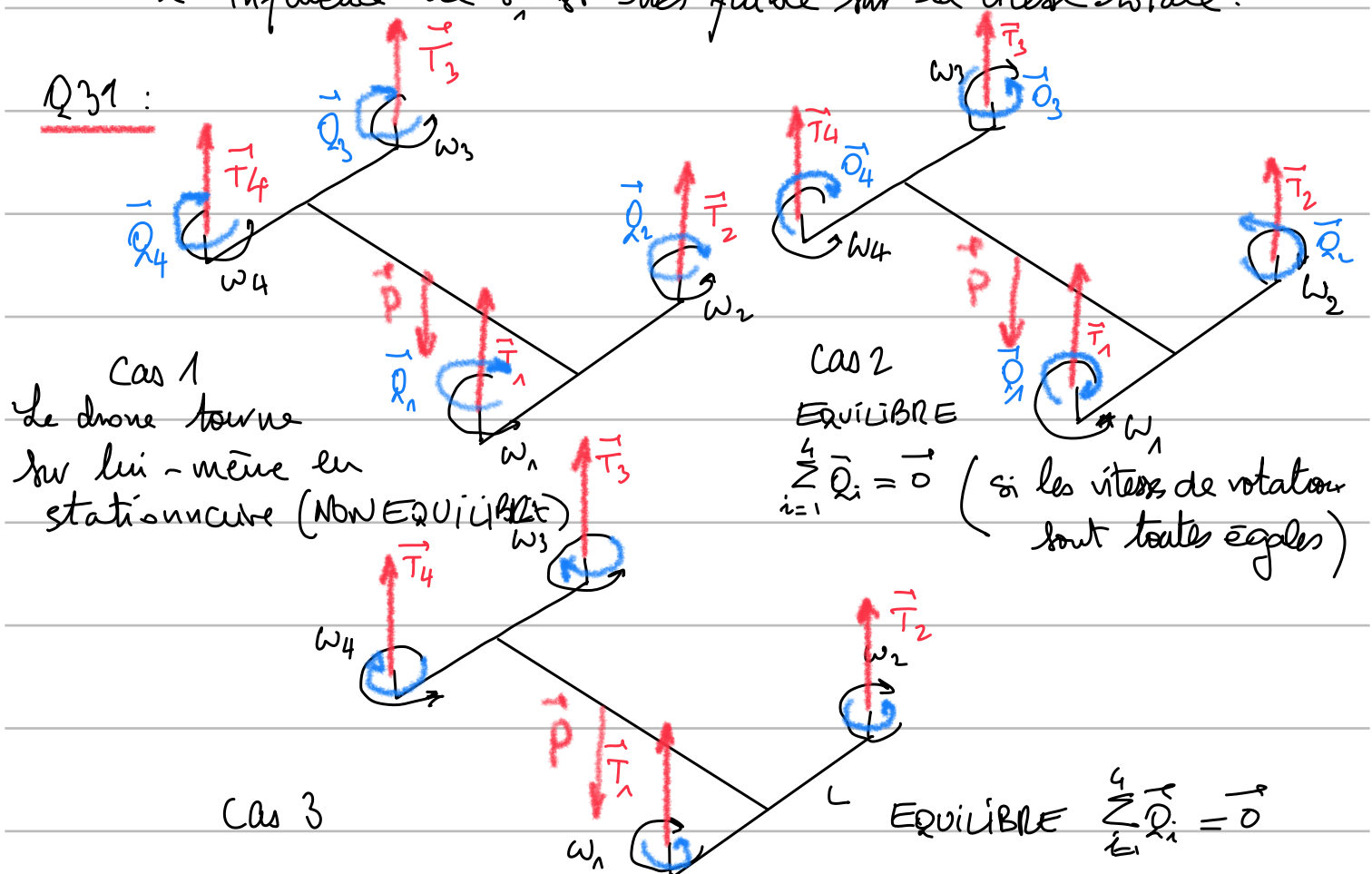
$$V_{MAX} = V_x + \frac{L_1}{2} \dot{y}_n + r_n (\omega_n + \ddot{\gamma}_n)$$

$$\begin{aligned} \dot{\gamma}_n \max &= \frac{\pi}{2} \\ &\quad \frac{300 \times 10^{-3}}{2} \quad \omega_n = \frac{13400 \times 2\pi}{60 \text{ rad. s}^{-1}} \\ &\quad = 5,23 \text{ rad. s}^{-1} \quad L_1 = 0,140 \text{ m} \quad r_n = 0,064 \text{ m} \end{aligned}$$

$$V_{MAX} = \underbrace{2,5}_{2,5 \text{ m/s}} + \underbrace{\frac{0,140}{2} \times 5,23}_{0,366 \text{ m/s}} + \underbrace{0,064(1414 + 5,23)}_{90,8 \text{ m/s}} = \underline{\underline{93,7 \text{ m/s}}} < 200 \text{ m/s}$$

L'influence de  $\ddot{\gamma}_n$  est très faible sur la vitesse totale.

Q31:



Q32:

Si  $|\omega_1| = |\omega_2| < |\omega_3| = |\omega_4|$  alors la portance du bras 1 sera plus faible que celle du bras 2  $\Rightarrow$  tangage vers l'avant

$\vec{T}_3 = \vec{T}_4$

$\vec{T}_1 = \vec{T}_L$

il y a une projection de la poussée

vers l'avant le drone se déplace

dans le sens de  $\vec{x}_G$

Q33 : La résultante nette  $\vec{T} = T \vec{z}_0$  avec  $T = C_T \omega_1^2$

$$\vec{T} = C_T \omega_1^2 \vec{z}_0$$

$$\begin{aligned}\vec{M}_{O,\vec{T}} &= \vec{M}_{I_1} + \vec{O} \vec{I}_1 \wedge \vec{T} = -Q \vec{z}_0 + (\vec{O} \vec{A}_1 + \vec{A}_1 \vec{I}_1) \wedge \vec{T} \\ &= -Q \vec{z}_0 + \left( \frac{L_0}{2} \vec{x}_0 + \frac{h}{4} \vec{z}_0 - \frac{L_1}{2} \vec{x}_1 + \frac{h}{4} \vec{z}_1 \right) \wedge C_T \omega_1^2 \vec{z}_0\end{aligned}$$

$$\begin{aligned}\vec{M}_{O,\vec{T}} &= -Q \vec{z}_0 \frac{L_0}{2} C_T \omega_1^2 \vec{y}_0 + \frac{L_1}{2} C_T \omega_1^2 \vec{y}_1 \\ &= -C_Q \omega_1^2 \vec{z}_0 - \frac{L_0}{2} C_T \omega_1^2 \vec{y}_0 + \frac{L_1}{2} C_T \omega_1^2 (-\sin \gamma_1 \vec{x}_0 + \cos \delta_1 \vec{y}_0) \\ &= -\frac{L_1}{2} C_T \omega_1^2 \sin \delta_1 \vec{x}_0 + \frac{C_T \omega_1^2}{2} (-L_0 + L_1 \cos \delta_1) \vec{y}_0 - C_Q \omega_1^2 \vec{z}_0\end{aligned}$$

$$\boxed{\begin{Bmatrix} \vec{x} \\ \vec{y} \\ \vec{z} \end{Bmatrix} \Big|_{A_{IR} \rightarrow H_1}} = \begin{Bmatrix} 0 & -\frac{L_1}{2} C_T \omega_1^2 \sin \delta_1 \\ 0 & \frac{C_T \omega_1^2 (-L_0 + L_1 \cos \delta_1)}{2} \\ C_T \omega_1^2 & -C_Q \omega_1^2 \end{Bmatrix} \Big|_0$$

Q34 : L'axe de roulis ici est l'axe  $\vec{x}_0$ , si  $\gamma_1 = 0^\circ$  alors les

$\lambda m \gamma_1 = 0$  et donc le moment résultant sur  $\vec{x}_0$  est nul.

Il n'y a donc aucun pilotage du drone en roulis, l'altitude du drone n'est pas maintenue 😞 Id 1.2.

Q35: Soit  $\vec{F}$  la fermeture géométrique :

$$\vec{F} = \overrightarrow{OC_1} + \overrightarrow{C_1B_1} + \overrightarrow{B_1A_1} + \overrightarrow{A_1O} = \vec{0}$$

$$= R_1 \vec{y}_0 + L_{C_1}(\theta) \vec{x}_{C_1} + a_1 \vec{x}_1 - \frac{L_0}{2} \vec{x}_0 = \vec{0}$$

$$L_{C_1}(\theta) \vec{x}_{C_1} = \frac{L_0}{2} \vec{x}_0 - R_1 \vec{y}_0 - a_1 \vec{x}_1$$

$$= \left( \frac{L_0}{2} - a_1 \cos \gamma_1 \right) \vec{x}_0 - \left( R_1 + a_1 \sin \gamma_1 \right) \vec{y}_0$$

Q36 :  $(L_{C_1}(\theta))^2 = \left( \frac{L_0}{2} - a_1 \cos \gamma_1 \right)^2 + \left( R_1 + a_1 \sin \gamma_1 \right)^2$

$$L_{C_1}(\theta)^2 = \frac{L_0^2}{4} - \frac{2L_0 a_1 \cos \gamma_1}{2} + a_1^2 \cos^2 \gamma_1 + R_1^2 + 2a_1 R_1 \sin \gamma_1 + a_1^2 \sin^2 \gamma_1$$

$$L_{C_1}(\theta)^2 = \underbrace{R_1^2 + \frac{L_0^2}{4}}_C + \underbrace{a_1^2 - L_0 a_1 \cos \gamma_1}_A + \underbrace{2a_1 R_1 \sin \gamma_1}_B$$

FIN

